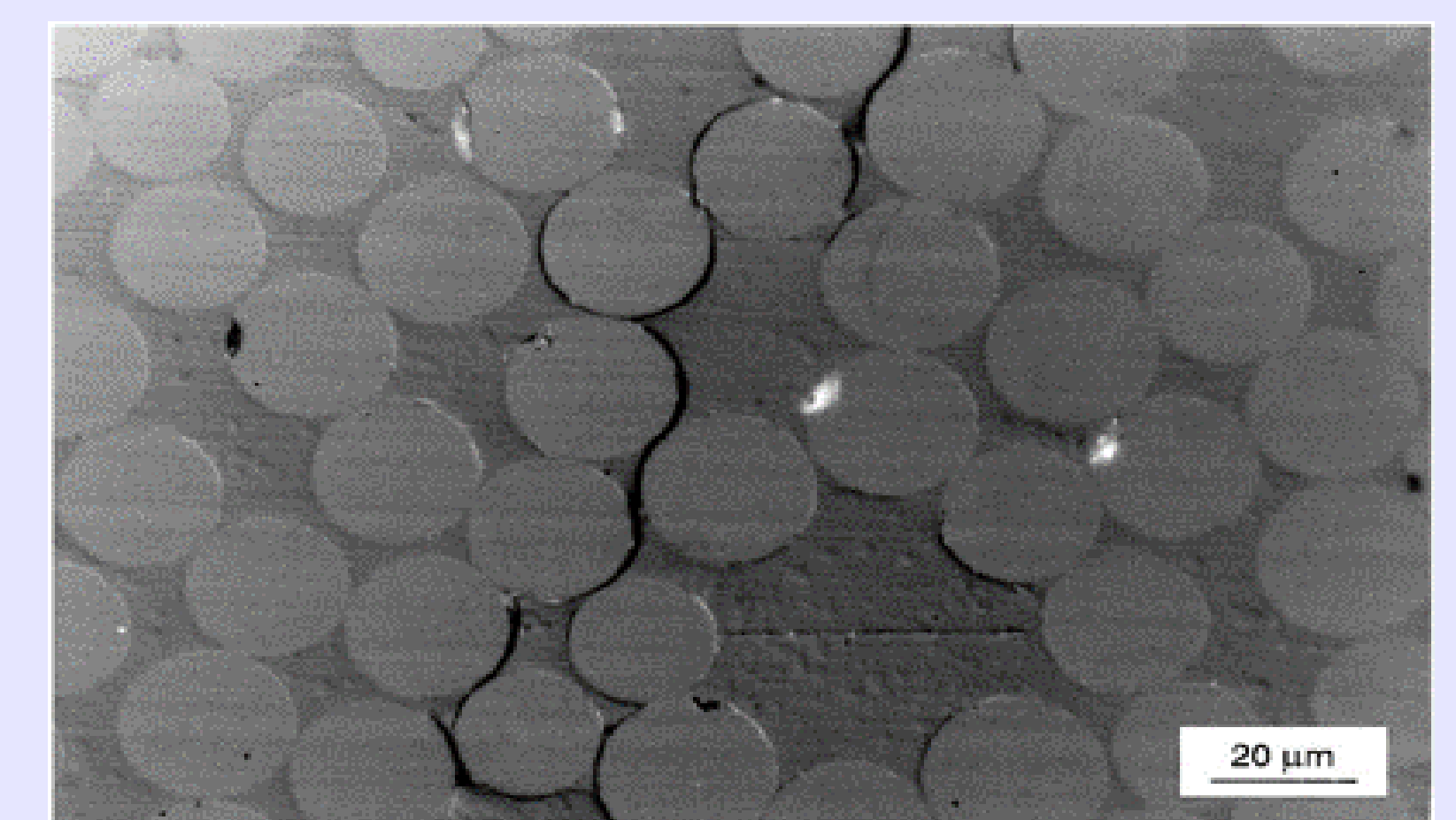
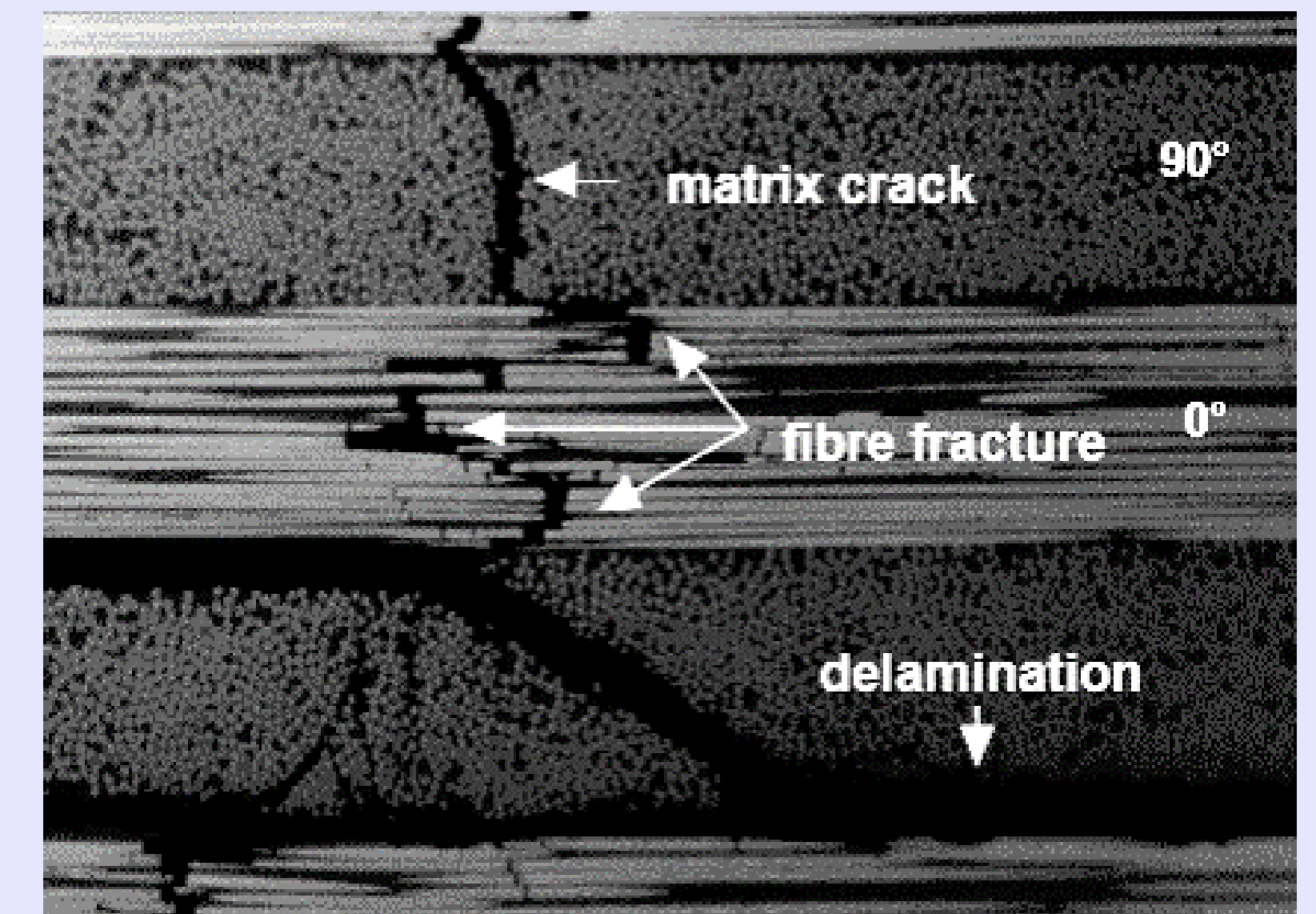
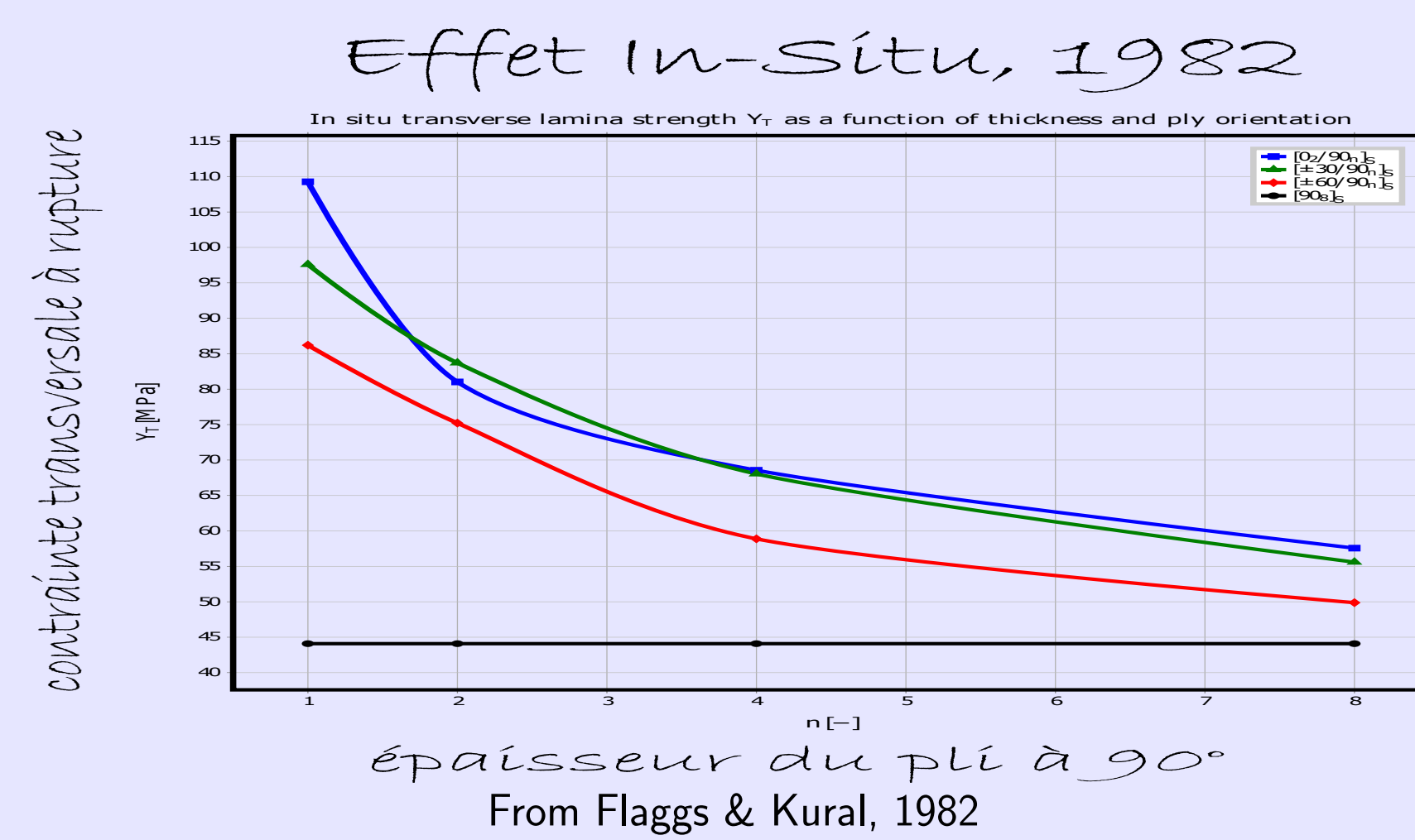
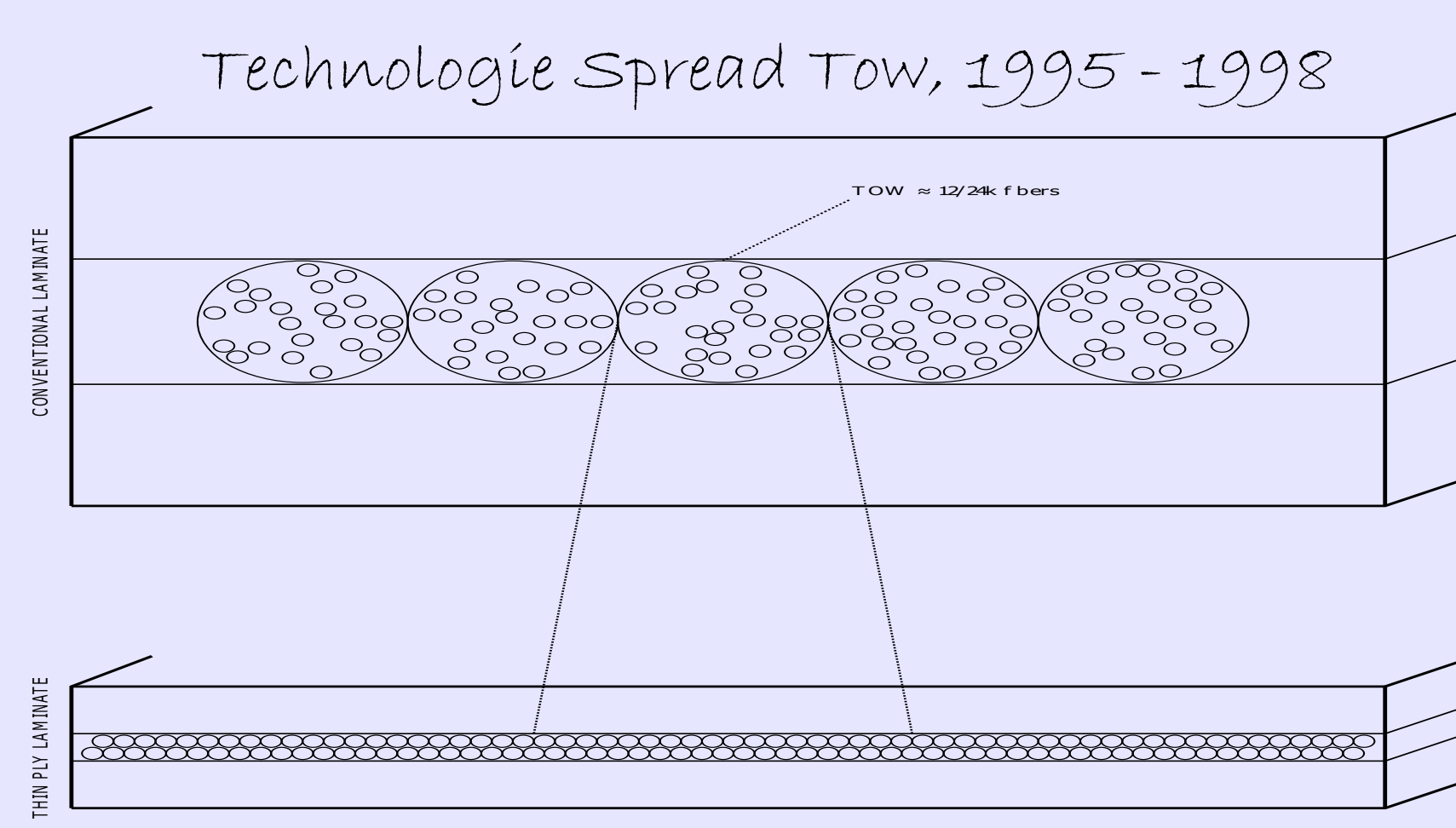


Modèles micromécaniques du dommage intra-laminaire dans les stratifiés avec couches fines

L'industrie aérospatiale face aux défis du futur : perspectives et enjeux



Objectifs & Approche

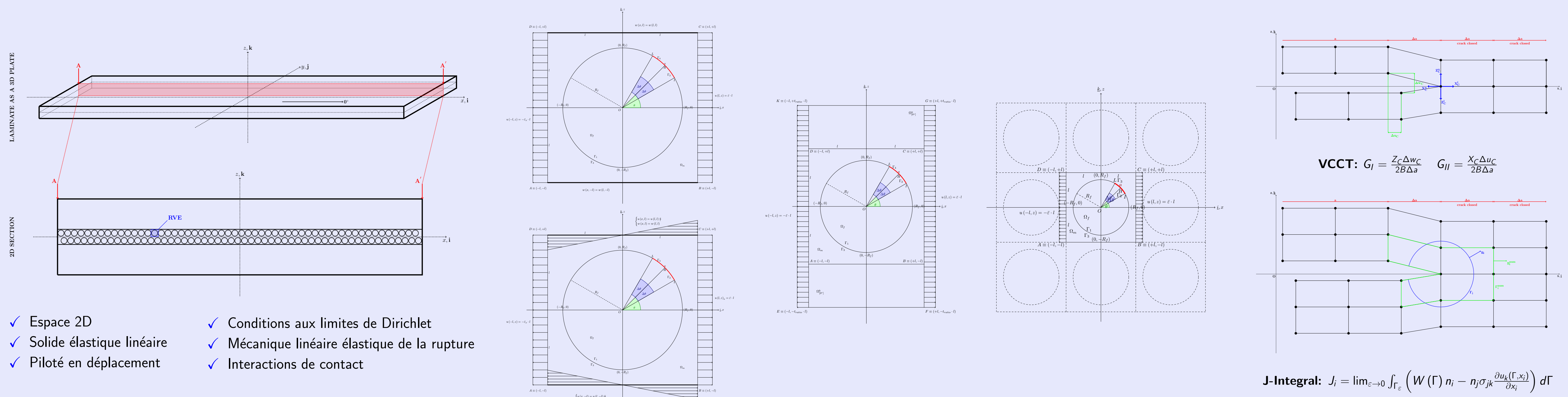
Que-est qu'on veut atteindre ?

$$G_{*C} = G_{*C} \left(\theta_{debond}, \Delta\theta_{debond}, E_{(\cdot)}, \nu_{(\cdot)}, G_{(\cdot)}, VF_f, t_{ply}, \frac{t_{ply}}{t_{bounding \text{ plies}}} \right)$$

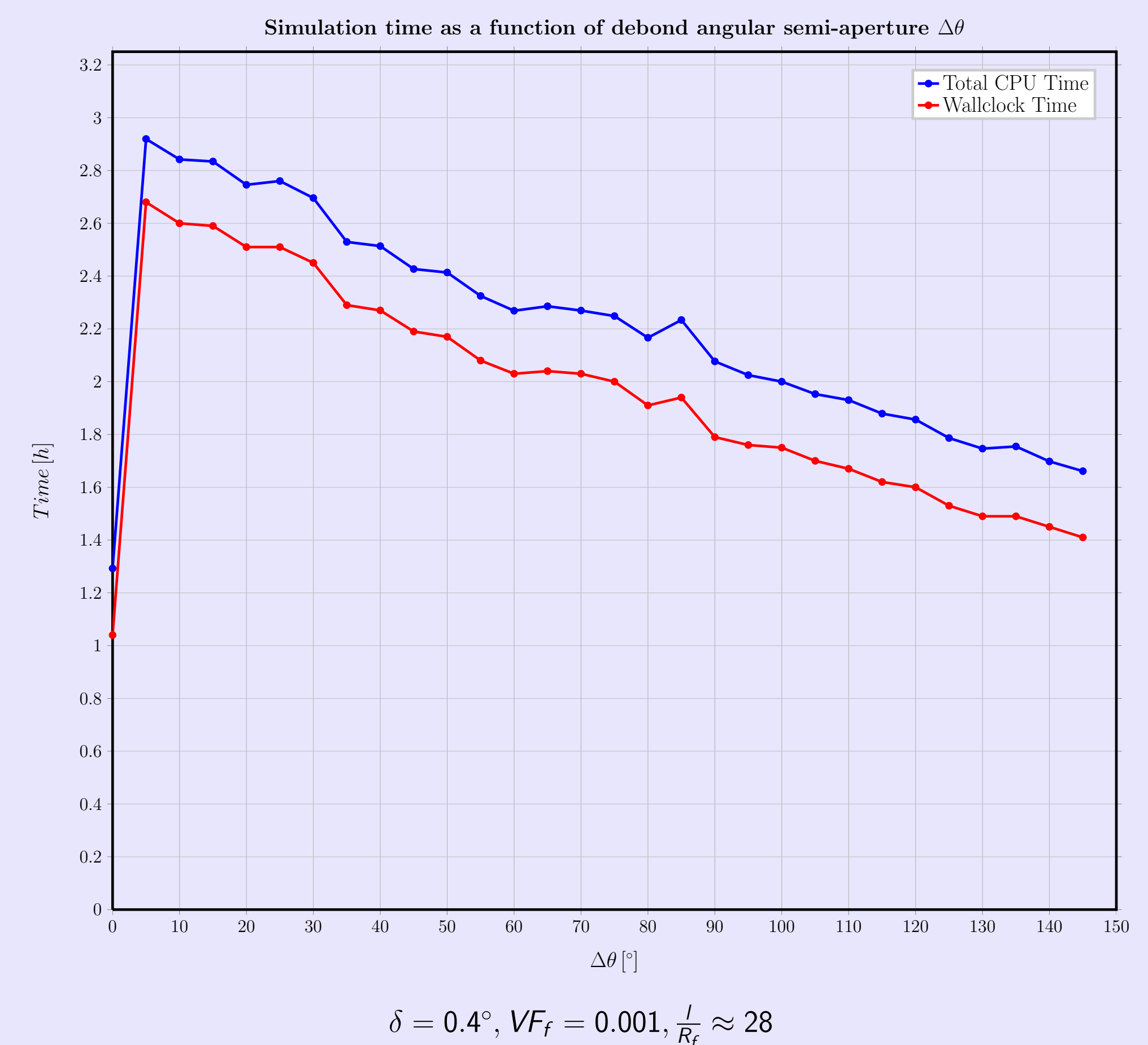
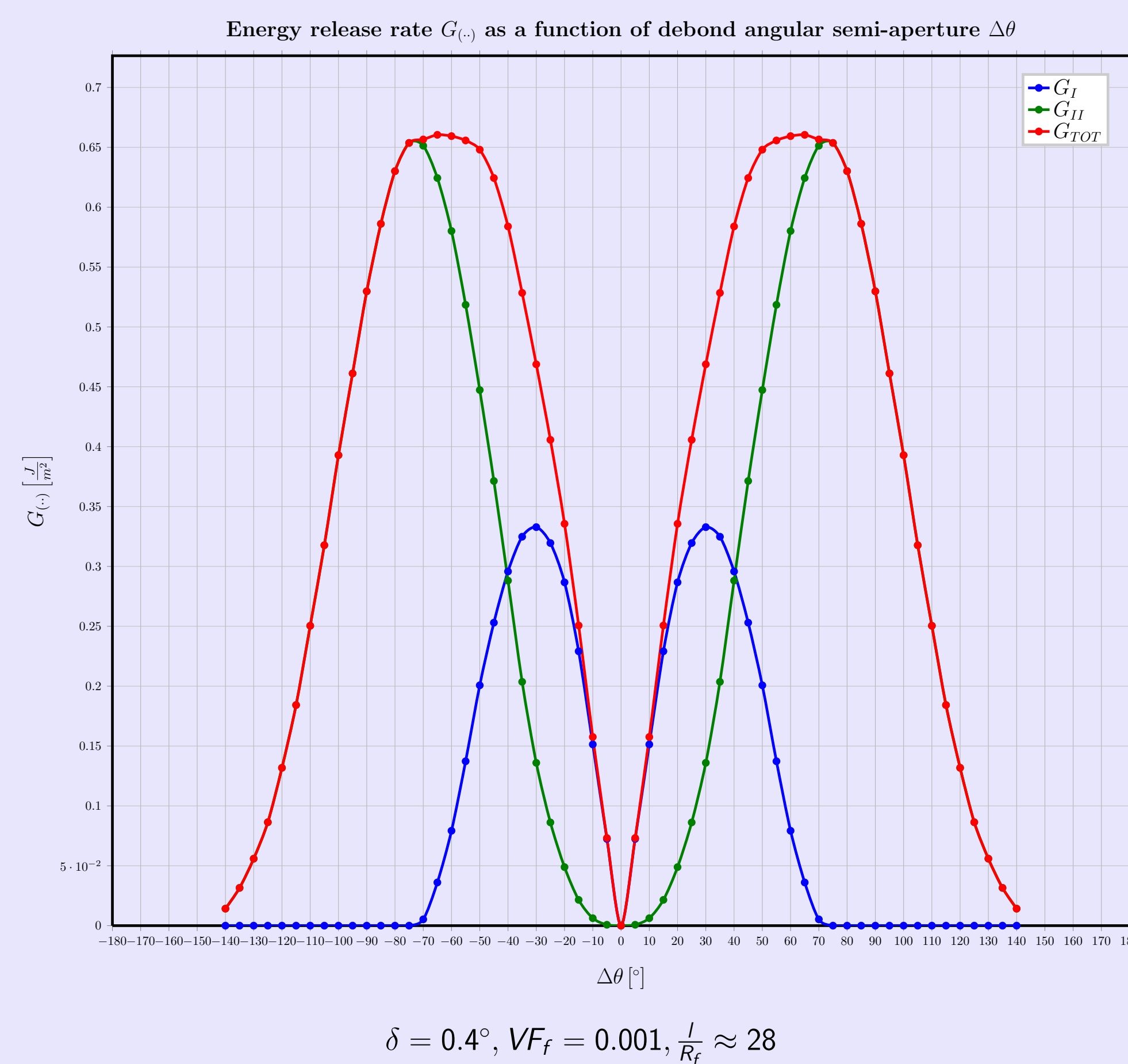
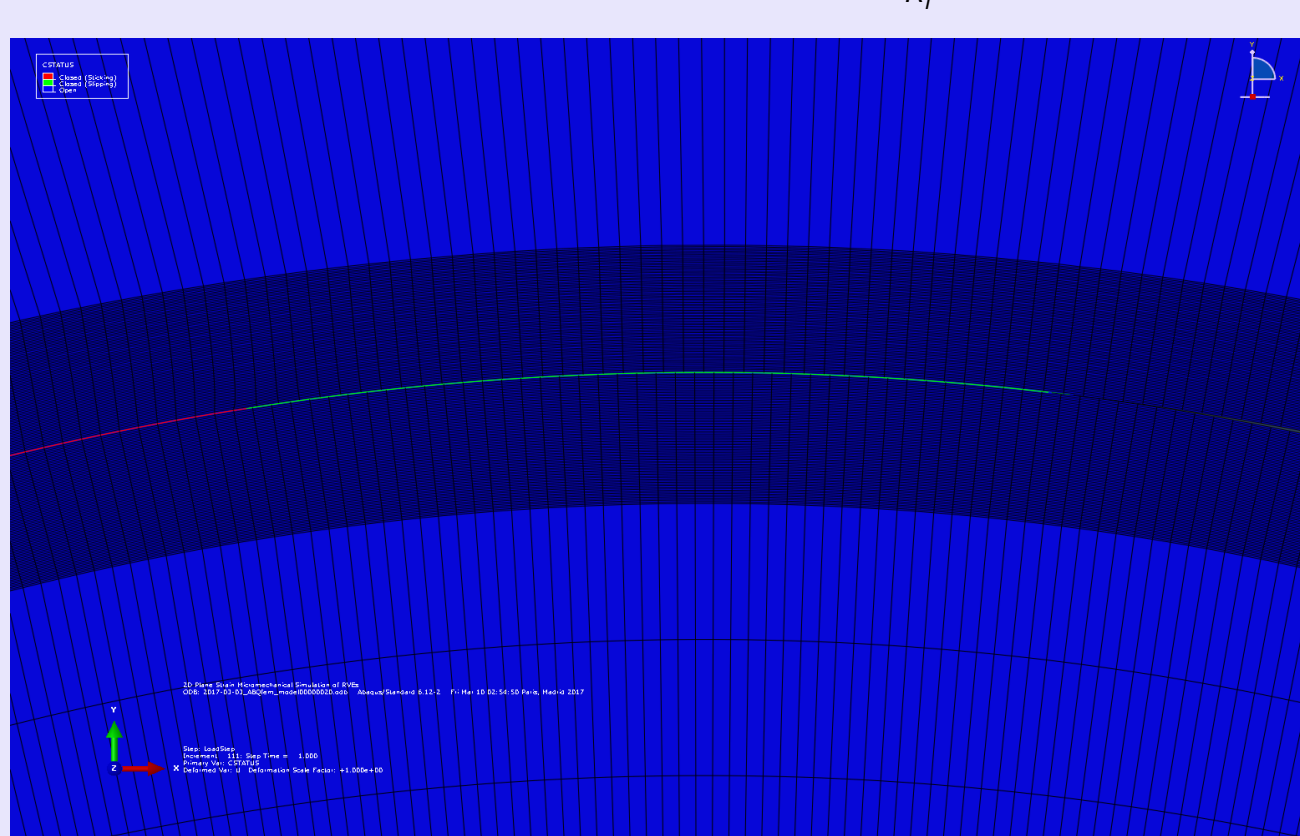
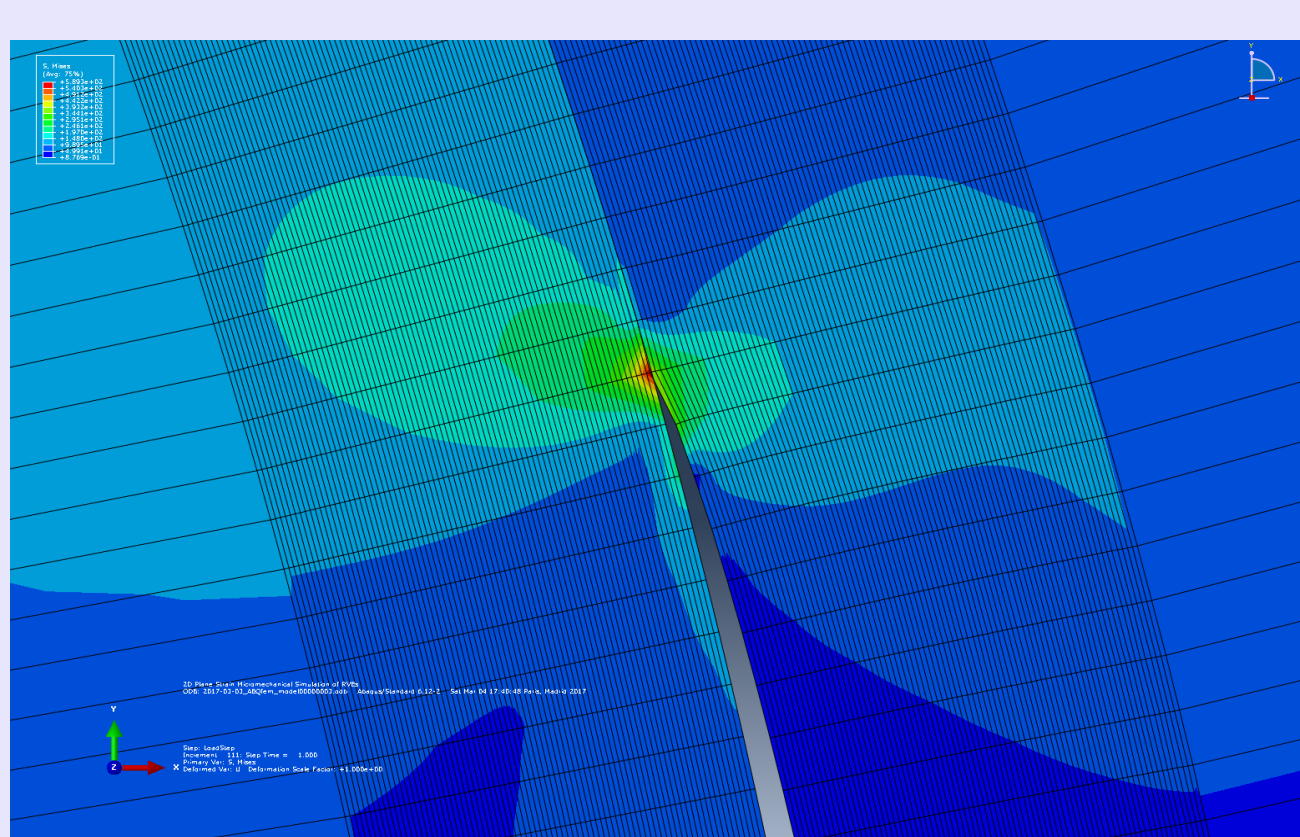
Comment on veut l'atteindre ?

Méthode des éléments finis (MEF)

Conception des modèles de Volumes Élémentaire Représentatif (VER) à l'échelle microscopique



Résultats & Perspectives



Remerciements

Le soutien financier de la Commission européenne dans le cadre du programme Erasmus Mundus a permis la réalisation de ce travail.

Références

- [1] UN General Assembly, Transforming our world: the 2030 Agenda for Sustainable Development, 21 October 2015, A/RES/70/1, available at: <http://www.refworld.org/docid/57b6e3e44.html> [accessed 3 April 2018]
- [2] Kawabe K., Tomoda S. and Matsuo T. 1997 A pneumatic process for spreading reinforcing fiber tow *Proc. 42nd Int. SAMPE USA (Anaheim, CA, USA)* 65-76
- [3] Flagg D. L. and Kural M. H. 1982 Experimental Determination of the In Situ Transverse Lamina Strength in Graphite/Epoxy Laminates *J. Compos. Mater.* **16** (2) 103-116
- [4] Toya M. 1974 A crack along the interface of a circular inclusion embedded in an infinite solid. *J. Mech. Phys. Solids* **22** (5) 325-348
- [5] Paris F., Cano J., and Varna J. 1990 The fiber-matrix interface crack - a numerical analysis using boundary elements *Int. J. Fract.* **82** (1) 11-29
- [6] Krueger R. 2004 Virtual crack closure technique: History, approach, and applications *Appl. Mech. Rev.* **57** (2) 109-143
- [7] Rice J. R. 1968 A Path Independent Integral and the Approximate Analysis of Strain Concentration by Notches and Cracks *J. Appl. Mech.* **35** 379-386